

大作业 5 Van der Pauw 法测量电阻率

张钰坤

2000011314

(C 语言实现)

2022 年 5 月 15 日

目录

1	解题思路	2
1.1	无量纲化	2
1.2	简化条件	2
1.3	方形网格离散化	3
1.3.1	内点	4
1.3.2	边界点	4
1.3.2.1	无源	4
1.3.2.2	有源	5
1.4	SOR 法/Gauss-Seidel 法求解线性方程组	6
1.4.1	解决 问题 1 的办法	6
1.4.2	解决 问题 2 的办法	6
1.5	遍历格点并寄存位置	8
1.5.1	第一问方形导体	9
1.5.2	具有中心对称和轴对称的曲线边界	9
2	源代码	11
3	结果展示	12
3.1	第一问	12
3.2	第二问	13
3.3	第三问	13
3.4	第四问	14

1 解题思路

本题要求解如下的定解问题：

$$\text{方程: } \nabla^2 \phi = 0, (x, y) \in \Omega \quad (1)$$

$$\text{定解条件: } \mathbf{n} \cdot \nabla \phi = 0, (x, y) \in \partial\Omega \quad (2)$$

$$\sigma d \int_C \mathbf{n} \cdot \nabla \phi dl = \pm I, \forall C \subseteq \Omega \quad (3)$$

1.1 无量纲化

选定

$$\tilde{\phi} = \phi / (1V)$$

$$\tilde{I} = \frac{I}{\sigma d (1V)}$$

$$\tilde{R} = \frac{\tilde{U}}{\tilde{I}}$$

而所有长度选定某个单位，比如说厘米。

于是定解问题化为

$$\text{方程: } \nabla^2 \tilde{\phi} = 0, (\tilde{x}, \tilde{y}) \in \Omega \quad (4)$$

$$\text{定解条件: } \tilde{\mathbf{n}} \cdot \tilde{\nabla} \tilde{\phi} = 0, (\tilde{x}, \tilde{y}) \in \partial\Omega \quad (5)$$

$$\int_C \tilde{\mathbf{n}} \cdot \tilde{\nabla} \tilde{\phi} d\tilde{l} = \pm \tilde{I}, \forall C \subseteq \Omega \quad (6)$$

Van der Pauw 方程化为

$$\exp(-\pi \tilde{R}_{AB,DC}) + \exp(-\pi \tilde{R}_{AD,BC}) = 1 \quad (7)$$

1.2 简化条件

不失一般性，我们将物理量无量纲化的上标省略：

$$\text{方程: } \nabla^2 \phi = 0, (x, y) \in \Omega \quad (8)$$

$$\text{定解条件: } \mathbf{n} \cdot \nabla \phi = 0, (x, y) \in \partial\Omega \quad (9)$$

$$\int_C \mathbf{n} \cdot \nabla \phi dl = \pm I, \forall C \subseteq \Omega \quad (10)$$

注意到第三个方程是对无穷个曲线的限制条件，不具有操作性。事实上，第三个方程可以用前两个条件简化。

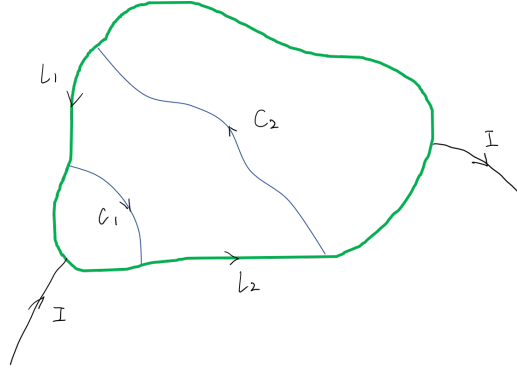


图 1: 条件简化示意图 1

如示意图 1 所示, 对任意 Ω 内的曲线 C_1, C_2 , 设它们截出的边界为 l_1, l_2 , 且 l_1, l_2 不包含源点。那么有

$$\oint \mathbf{n} \cdot \nabla \phi dl = \begin{cases} \iint_{\Omega} \nabla^2 \phi dS = 0 \\ (\int_{C_1^-} + \int_{C_2^+} + \int_{l_1} + \int_{l_2}) \mathbf{n} \cdot \nabla \phi dl = (\int_{C_1^-} + \int_{C_2^+}) \mathbf{n} \cdot \nabla \phi dl \end{cases}$$

其中第一行的等号用到了方程, 第二行等号用到了边界条件。

进而得到

$$\int_{C_1} \mathbf{n} \cdot \nabla \phi dl = \int_{C_2} \mathbf{n} \cdot \nabla \phi dl$$

根据上面的性质, 方程三 $\int_C \mathbf{n} \cdot \nabla \phi dl = \pm I, \forall C \subseteq \Omega$ 可以简化为

$$\int_{C_{in}} \mathbf{n} \cdot \nabla \phi dl = I, \int_{C_{out}} \mathbf{n} \cdot \nabla \phi dl = -I$$

其中 C_{in}, C_{out} 是电极附近的一个选定的曲线, 如示意图 2 所示。

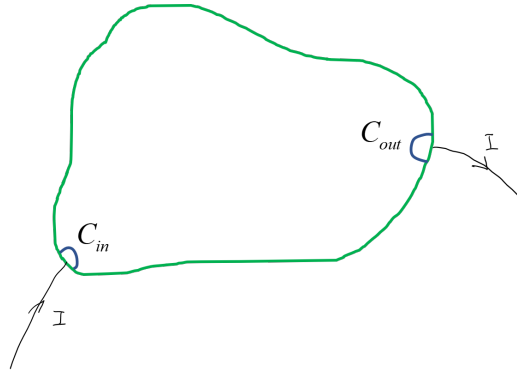


图 2: 条件简化示意图 2

1.3 方形网格离散化

根据上述讨论, 我们确定了数值求解的定解问题:

$$\text{方程: } \nabla^2 \phi = 0, (x, y) \in \Omega \quad (11)$$

$$\text{定解条件: } \mathbf{n} \cdot \nabla \phi = 0, (x, y) \in \partial\Omega \quad (12)$$

$$\int_{C_{in}} \mathbf{n} \cdot \nabla \phi dl = I, \int_{C_{out}} \mathbf{n} \cdot \nabla \phi dl = -I \quad (13)$$

本题欲采用有限差分的方法求解，并采用方形网格对求解区域离散化。

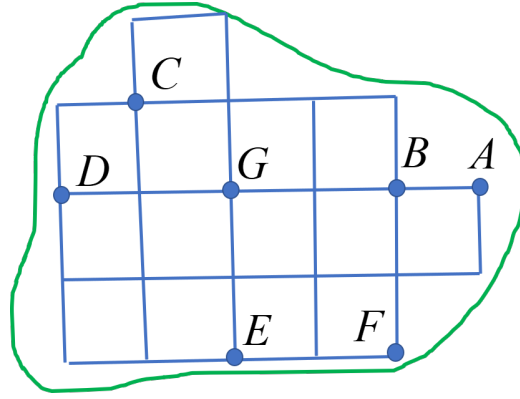


图 3: 方形网格离散化区域

如上图所示，经过离散化后，我们实际用网格区域代替了原来的区域。我们规定，当网格点上下左右都有格点的时候，认为该格点是内点；当网格点上下左右有格点缺失的时候，认为该格点是边界点。例如，上图中 ADEF 是边界点，BCG 是内点。注意这里我们认为 BC 也是内点。看似当我们用网格区域代替了原来的区域时，BC 处在了边界上，但是由于它们常处在凹陷中，离真实物理边界较远，故可以把它们当作内点处理。

离散化之后给每个格点横纵指标 (i,j) ，将每个格点的电势设为 ϕ_{ij} ，进而我们可以分别对内点和边界点满足的方程应用有限差分。

1.3.1 内点

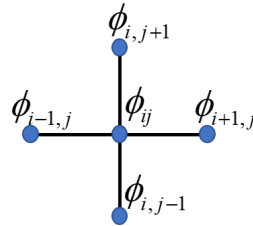


图 4: 内点

如图所示，内点满足拉普拉斯方程离散化为

$$\phi_{i-1,j} + \phi_{i+1,j} + \phi_{i,j-1} + \phi_{i,j+1} - 4\phi_{i,j} = 0$$

1.3.2 边界点

1.3.2.1 无源 情况 1: 格点上下左右只有一个点缺失，如图 3 中的 DE，此时格点在网格的一条边上。

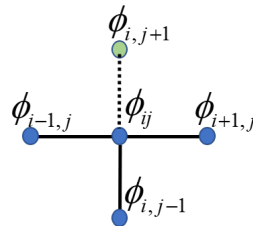


图 5: 无源边界点 1

由于边界点满足 $\mathbf{n} \cdot \nabla \phi = 0$ ，即电势法向导数为 0。我们可以关于直边界 $\phi_{i-1,j}, \phi_{i,j}, \phi_{i+1,j}$ 把内点 $\phi_{i,j-1}$ 对称出去，得到虚拟点 $\phi_{i,j+1}$ ，如图所示，再由 (i,j) 点法向导数为 0，得到 $\phi_{i,j+1} - \phi_{i,j-1} = 0$ 。由于补全了 (i,j)

点周围的格点，可以由拉普拉斯方程得到 $\phi_{i-1,j} + \phi_{i+1,j} + \phi_{i,j-1} + \phi_{i,j+1} - 4\phi_{i,j} = 0$ ，二者联立，就得到这种边界点的满足的离散化方程：

$$\phi_{i-1,j} + \phi_{i+1,j} + 2\phi_{i,j-1} - 4\phi_{i,j} = 0$$

情况 2： 格点上下左右有 2 个点缺失，如图 3 中的 AF，此时格点在网络的某个角上。

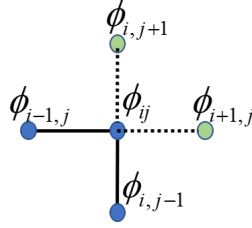


图 6: 无源边界点 2

由于边界点满足 $\mathbf{n} \cdot \nabla \phi = 0$ ，即电势法向导数为 0。我们可以分别关于直边界 $\phi_{i-1,j}\phi_{i,j}$ 和 $\phi_{i,j}\phi_{i,j-1}$ 把内点 $\phi_{i-1,j}$ 和 $\phi_{i,j-1}$ 对称出去，得到虚拟点 $\phi_{i+1,j}$ 和 $\phi_{i,j+1}$ ，如图所示，再由 (i,j) 点法向导数为 0，得到 $\phi_{i,j+1} - \phi_{i,j-1} = 0$ 和 $\phi_{i+1,j} - \phi_{i-1,j} = 0$ 。由于补全了 (i,j) 点周围的格点，可以由拉普拉斯方程得到 $\phi_{i-1,j} + \phi_{i+1,j} + \phi_{i,j-1} + \phi_{i,j+1} - 4\phi_{i,j} = 0$ ，二者联立，就得到这种边界点的满足的离散化方程：

$$2\phi_{i-1,j} + 2\phi_{i,j-1} - 4\phi_{i,j} = 0$$

我们不妨在取格点的时候保证，边界格点只可能有 1 或 2 个上下左右格点缺失，即：边界格点要么在一条边上，要么在一个角上。进而，所有边界点都可以分成上面两种情况（只差旋转一个角度，分析是类似的）。

1.3.2.2 有源 根据方程 3: $\int_{C_{in}} \mathbf{n} \cdot \nabla \phi dl = I$ ，可以得出 $\mathbf{n} \cdot \nabla \phi = \mathbf{j}$ ，即电势的法向导数等于电流密度。

情况 1： 格点上下左右只有一个点缺失，此时电流加在网格的一条边上，如下图。

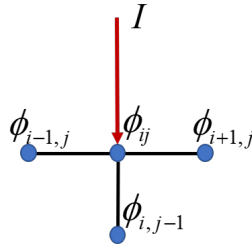


图 7: 有源边界点 1

设格点边长为 h ，我们不妨设 $\phi_{i,j}\phi_{i,j-1}$ 中点的电流密度为 I/h ，那么有

$$\frac{\phi_{i,j} - \phi_{i,j-1}}{h} = \frac{I}{h}$$

于是得到离散化方程

$$\phi_{i,j} - \phi_{i,j-1} = I$$

情况 2： 格点上下左右只有 2 个点缺失，此时电流加在网格的一个角上，如下图。

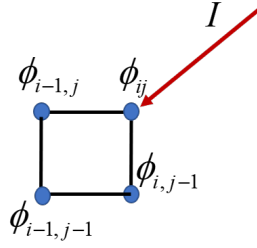


图 8: 有源边界点 2

设格点边长为 h , 我们不妨设 $\phi_{i,j}\phi_{i-1,j-1}$ 中点的电流密度为 I/h , 那么有

$$\frac{\phi_{i,j} - \phi_{i-1,j-1}}{\sqrt{2}h} = \frac{I}{\sqrt{2}h}$$

于是得到离散化方程

$$\phi_{i,j} - \phi_{i-1,j-1} = I$$

1.4 SOR 法/Gauss-Seidel 法求解线性方程组

根据前一节的分析, 我们用方形网格离散化待求解区域, 设出每个格点上的电势 ϕ_{ij} 。经过讨论, 这些格点分为三大类: 内点, 无源边界点, 有源边界点。每种情况都可以给出以这些格点为中心的线性方程。因此, 有多少个格点, 就有多少个未知数, 多少个线性方程, 进而可以通过解线性方程组的方式, 求出所有格点的电势值。

将 ϕ_{ij} 按一定顺序排列成一个向量 \mathbf{x} , 线性方程组可以写为

$$\mathbf{A}\mathbf{x} = \mathbf{b}$$

注意到 \mathbf{A} 是一个大型极端稀疏矩阵。因为, 想要求解的电势十分精确的反应真实物理情景, 有限差分只有在格子取得很小的情况下才能作为导数的近似, 这会使得未知数 ϕ_{ij} 数量庞大。但是根据前节的讨论, 每个格点对应的方程, 之和自身和周围的 4 项相关, 说明矩阵 \mathbf{A} 中每行只有至多 5 个元素非 0。故, \mathbf{A} 大型且稀疏。

于是我们采用 SOR 法/Gauss-Seidel 法求解。这会遇到两个问题:

问题 1: SOR 法/Gauss-Seidel 法需要矩阵对角元全部非 0。

问题 2: 由于 \mathbf{A} 规模巨大, 难以储存; 并且即便储存了, 在迭代过程中也会遇到 0 和数的乘法这种不必要的运算。(下面的估算说明存储 \mathbf{A} 的不值当: 假设有一万个格点, 那么矩阵 \mathbf{A} 是 10000×10000 的, 如果用二维 double 数组存储, 共占据 $8 \times 10^8 B = 800MB$ 内存! 并且这个矩阵元素中大部分都是 0, 有多大部分呢? 每行 10000 个元素最多有 5 个不是 0, 那么有 $9995/10000=99.95\%$ 空间浪费掉了!)

1.4.1 解决问题 1 的办法

解决 **问题 1** 的办法是: 选定 ϕ_{ij} 在 \mathbf{x} 中的排列次序, 那么让 ϕ_{ij} 在 \mathbf{x} 中由上到下的排列次序, 与 (i,j) 满足的线性方程在 \mathbf{A} 中由上到下的排列次序相同。由于 (i,j) 满足的线性方程一定含有 ϕ_{ij} 项, 那么对角元一定非零。

比如说, $\phi_{1,2}$ 在 \mathbf{x} 中是第 5 个, 那么 \mathbf{A} 的第 5 行就去记录以 $(1,2)$ 点为中心的方程系数, 以 $(1,2)$ 是内点为例, 去记录方程 $\phi_{0,2} + \phi_{2,2} + \phi_{1,1} + \phi_{1,3} - 4\phi_{1,2} = 0$ 的系数。

1.4.2 解决问题 2 的办法

解决 **问题 2** 的办法是: 不储存矩阵, 而把每一步迭代写成函数, 这样既不用储存矩阵, 又不用计算许多 0 和数的乘法。

参考 SOR 算法 [1],

计

$$A = \begin{pmatrix} \alpha_1 \\ \alpha_2 \\ \vdots \\ \alpha_n \end{pmatrix}$$

SOR 算法的每次迭代可以写为

$$\begin{cases} x_i^{(k+1)} = x_i^{(k)} + \Delta x_i, \\ \Delta x_i = \omega(b_i - \alpha_i^\top \mathbf{x})/A(i; i), \\ i = 1, 2, \dots, n; k = 1, 2, \dots; \omega \text{ 为松弛因子} \end{cases}$$

为简便起见可以让 A 对角元都为-4，然后可以写一个函数计算 $\alpha_i^\top \mathbf{x}$ 。

Algorithm 1 AmX 函数, 计算 $\alpha_i^\top x$

Input: 行数 m , 待求解向量 x ;

Output: 内积 $\alpha_m^\top x$;

```
1: 通过  $m$  的值确定这一行系数对应的方程中心点  $(i,j)$ 。(因为要选定一定顺序排列  $\phi_{i,j}$ , 而且系数矩阵  $A$  每行的排列与这个顺序相同, 见“解决问题 1 的办法”);
2: if  $(i,j)$  是有源边界点 (通电流的点) then
3:   按照有源边界点方程, 用这些系数 * 对应  $x$  中的分量再相加, 返回这个值。
4: else
5:    $(i,j)$  是无源边界点或内点;
6:   由于无源边界点和内点上的方程本质都是拉普拉斯方程 (见“方形网格离散化”), 因而二者可以统一, 并通过一些判断条件, 把想要的值算出来, 下面实现这一点。
7:   设一个变量  $s$  临时储存待求内积;  $s=0$ ;
8:   因为  $(i,j)$  项对应的系数一定是  $-4$ , 所以  $s += -4\phi_{i,j}$ 
9:   if  $(i+1,j)$  在界外 then
10:     $(i-1,j)$  一定在界内, 并且由于对称性,  $(i-1,j)$  的系数一定是  $2$ , 故  $s += 2\phi_{i-1,j}$ 
11:   end if
12:   if  $(i-1,j)$  在界外 then
13:     $(i+1,j)$  一定在界内, 并且由于对称性,  $(i+1,j)$  的系数一定是  $2$ , 故  $s += 2\phi_{i+1,j}$ 
14:   end if
15:   if  $(i,j+1)$  在界外 then
16:     $(i,j-1)$  一定在界内, 并且由于对称性,  $(i,j-1)$  的系数一定是  $2$ , 故  $s += 2\phi_{i,j-1}$ 
17:   end if
18:   if  $(i,j-1)$  在界外 then
19:     $(i,j+1)$  一定在界内, 并且由于对称性,  $(i,j+1)$  的系数一定是  $2$ , 故  $s += 2\phi_{i,j+1}$ 
20:   end if
21:   if  $(i+1,j)$  不在界外且  $\phi_{i+1,j}$  没有在此之前计入过  $s$  then
22:     $(i-1,j)$  的系数一定是  $1$ , 故  $s += \phi_{i-1,j}$ 
23:   end if
24:   if  $(i-1,j)$  不在界外且  $\phi_{i-1,j}$  没有在此之前计入过  $s$  then
25:     $(i+1,j)$  的系数一定是  $1$ , 故  $s += \phi_{i+1,j}$ 
26:   end if
27:   if  $(i,j+1)$  不在界外且  $\phi_{i,j+1}$  没有在此之前计入过  $s$  then
28:     $(i,j-1)$  的系数一定是  $1$ , 故  $s += \phi_{i,j-1}$ 
29:   end if
30:   if  $(i,j-1)$  不在界外且  $\phi_{i,j-1}$  没有在此之前计入过  $s$  then
31:     $(i,j+1)$  的系数一定是  $1$ , 故  $s += \phi_{i,j+1}$ 
32:   end if
33:   return  $s$ 
34: end if
```

值得注意的是, 对于不同形状的导体, 不同的电极接入位置, 电极方程都略有不同, 但好处是内点和无源边界点的处理是兼容的, 可以参考源代码中 (double) AmX(int, vector*) 函数。

1.5 遍历格点并寄存位置

在上节算法的实现中, 我们认为 $\phi_{i,j}$ 通过一定顺序排列好了, 并且我们需要经常通过 $\phi_{i,j}$ 的排列序号得到位置坐标 (i,j) , 和通过位置坐标 (i,j) 确定排列序号。这说明我们需要记录这种映射关系。另外, 对于不同形状

的导体，如何构造格点是一个问题。我们将在本节中解决这两个问题。

1.5.1 第一问方形导体

方形导体的格子可以直接划分，举个简单的例子，取格子边长 0.5，划分 3*2 的长方形，那么将划出 (7*5=35) 个格子，选定如下的排列方式。

28	29	30	31	32	33	34
21	22	23	24	25	26	27
14	15	16	17	18	19	20
7	8	9	10	11	12	13
0	1	2	3	4	5	6

那么容易定出格点位置和序号的函数关系。

一般的，取格子边长 h ，划分 3*2 的长方形，可以计算出 $NX=3/h, NY=2/h$ 。于是划分出 $(NX+1)*(NY+1)$ 个格子，选定和例子一样的排列方式。

$$\begin{array}{ccc} NY * (NX + 1) & \cdots & NY * (NX + 1) + NX \\ \vdots & & \vdots \\ 0 & \cdots & NX \end{array}$$

可以计算出位置 $(i,j)(i=0,1,\dots,NX;j=0,1,\dots,NY)$ 与序号 $l(l=0,1,\dots,(NX+1)*NY+NX)$ 的函数关系：

$$l = i + j(NX + 1)$$

$$i = l \% (NX + 1)$$

$$j = [l / (NX + 1)]$$

1.5.2 具有中心对称和轴对称的曲线边界

第二、三、四问中的导体形状都是具有中心对称和轴对称性质的，我们不妨把曲线的对称中心放在原点，只在第一象限内划分格子，进而可以对称到其余象限中。

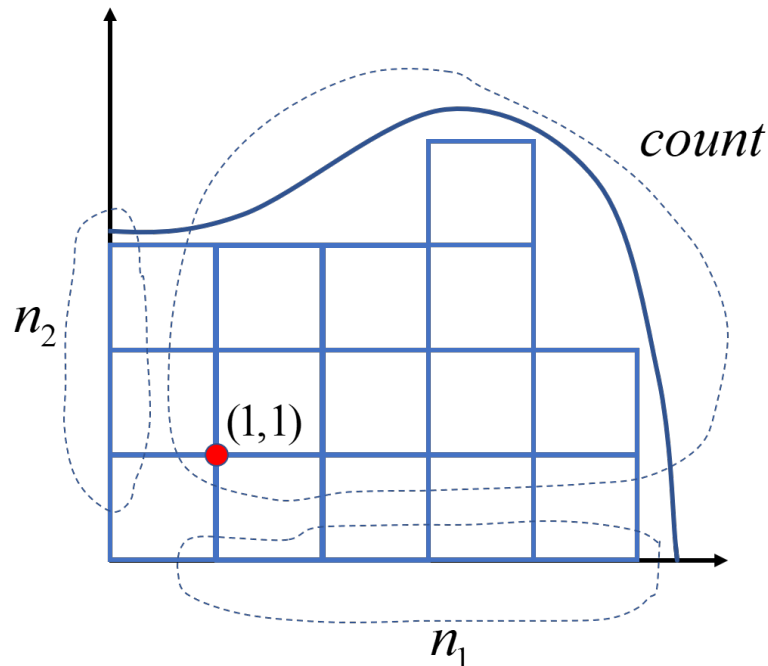


图 9: 构造格点示意图

如上图所示，我们只需要数出上图中三个虚线框中各有多少个格点 (count 个, n1 个, n2 个)，就可以得到总格点数 $4*count+2*(n1+n2)+1$ 。

怎样去数格点呢？我们通过逐行搜索的方式遍历第一象限内所有格点。起点设在 (1,1)，每次向右踏一步，直到走到了曲线外，我们就回到 $i=1$ 但是纵指标增加了 1，在往上一行继续搜索，直到一整行都没有点在曲线内为止。

在这个搜索过程中我们可以得到许多离散后的网格信息，不仅限于图中的 count, n1, n2，我们还可以得到横向最大格数，纵向最大格数，曲线与 $y=x$ 交点的近似格点位置（第四问），曲边中点近似格点位置（第二问）等等，详情见每一问的源代码。

我们通过遍历确定了格点，接下来就可以按照一定顺序给格点编号，并用数组记录三个数（序号 l，横指标 i，纵指标 j）的关系。

这三个数组分别是：

ltoi[], 一维数组，记录每个 l 对应的 i；

ltoj[], 一维数组，记录每个 l 对应的 j；

ijtol[][], 二维数组，记录 (i,j) 位置的序号 l，相当于是把整个格点图画了下来，由于边界不规则而二维数组是标准的矩形，所以一些数组元素表示导体外的点，可以置为-1，另外由于 i,j 可能取负数，但数组元素的序号非负，因此可以做适当的平移加以储存，这里不过多赘述，详情见源代码。

我们采用如下顺序编号：

- 1、原点；
- 2、x 轴：每一次先后标记正负半轴对称位置的两个值，绝对值从小到大；
- 3、y 轴：每一次先后标记正负半轴对称位置的两个值，绝对值从小到大；
- 4、象限内的点：按照数格点时的遍历方式，在第一象限遍历，每遍历到一个点，根据对称性依次把四个象限对称位置的点全部标记。

这样我们就完成了三个数组的初始化，进而我们可以随时取用 l 与 (i,j) 的对应信息。

我们可以把 ijtol[][] 打印出来，欣赏一下格点化的成果。

这里为了演示方便，步长取得比较大。

第二问，步长 0.1

-1	-1	-1	-1	-1	-1	-1	-1	-1	-1	-1	-1	-1	-1	-1	-1	-1	-1	-1	-1
-1	-1	-1	-1	-1	-1	-1	-1	-1	-1	290	43	289	-1	-1	-1	-1	-1	-1	-1
-1	-1	-1	-1	-1	-1	-1	-1	-1	-1	286	41	285	-1	-1	-1	-1	-1	-1	-1
-1	-1	-1	-1	-1	-1	-1	-1	-1	282	278	39	277	281	-1	-1	-1	-1	-1	-1
-1	-1	-1	-1	-1	-1	-1	-1	274	270	266	37	265	269	273	-1	-1	-1	-1	-1
-1	-1	-1	-1	-1	-1	-1	262	258	254	250	35	249	253	257	261	-1	-1	-1	-1
-1	-1	-1	-1	-1	-1	-1	246	242	238	234	33	233	237	241	245	-1	-1	-1	-1
-1	-1	-1	-1	-1	-1	230	226	222	218	214	31	213	217	221	225	229	-1	-1	-1
-1	-1	-1	-1	-1	-1	210	206	202	198	194	29	193	197	201	205	209	-1	-1	-1
-1	-1	-1	-1	-1	190	186	182	178	174	170	27	169	173	177	181	185	189	-1	-1
-1	-1	-1	-1	166	162	158	154	150	146	142	25	141	145	149	153	157	161	165	-1
-1	-1	-1	138	134	130	126	122	118	114	23	113	117	121	125	129	133	137	-1	-1
-1	-1	110	106	102	98	94	90	86	82	21	81	85	89	93	97	101	105	109	-1
-1	78	74	70	66	62	58	54	50	46	19	45	49	53	57	61	65	69	73	-1
-1	18	16	14	12	10	8	6	4	2	0	1	3	5	7	9	11	13	15	-1
-1	79	75	71	67	63	59	55	51	47	20	48	52	56	60	64	68	72	76	-1
-1	-1	111	107	103	99	95	91	87	83	22	84	88	92	96	100	104	108	112	-1
-1	-1	-1	139	135	131	127	123	119	115	24	116	120	124	128	132	136	140	-1	-1
-1	-1	-1	167	163	159	155	151	147	143	26	144	148	152	156	160	164	168	-1	-1
-1	-1	-1	-1	191	187	183	179	175	171	28	172	176	180	184	188	192	-1	-1	-1
-1	-1	-1	-1	-1	211	207	203	199	195	30	196	200	204	208	212	-1	-1	-1	-1
-1	-1	-1	-1	-1	231	227	223	219	215	32	216	220	224	228	232	-1	-1	-1	-1
-1	-1	-1	-1	-1	-1	247	243	239	235	34	236	240	244	248	-1	-1	-1	-1	-1
-1	-1	-1	-1	-1	-1	263	259	255	251	36	252	256	260	264	-1	-1	-1	-1	-1
-1	-1	-1	-1	-1	-1	-1	275	271	267	38	268	272	276	-1	-1	-1	-1	-1	-1
-1	-1	-1	-1	-1	-1	-1	-1	283	279	40	280	284	-1	-1	-1	-1	-1	-1	-1
-1	-1	-1	-1	-1	-1	-1	-1	-1	287	42	288	-1	-1	-1	-1	-1	-1	-1	-1
-1	-1	-1	-1	-1	-1	-1	-1	-1	-1	291	44	292	-1	-1	-1	-1	-1	-1	-1
-1	-1	-1	-1	-1	-1	-1	-1	-1	-1	-1	-1	-1	-1	-1	-1	-1	-1	-1	-1

图 10: 第二问格点划分示意

第三问，步长 0.1

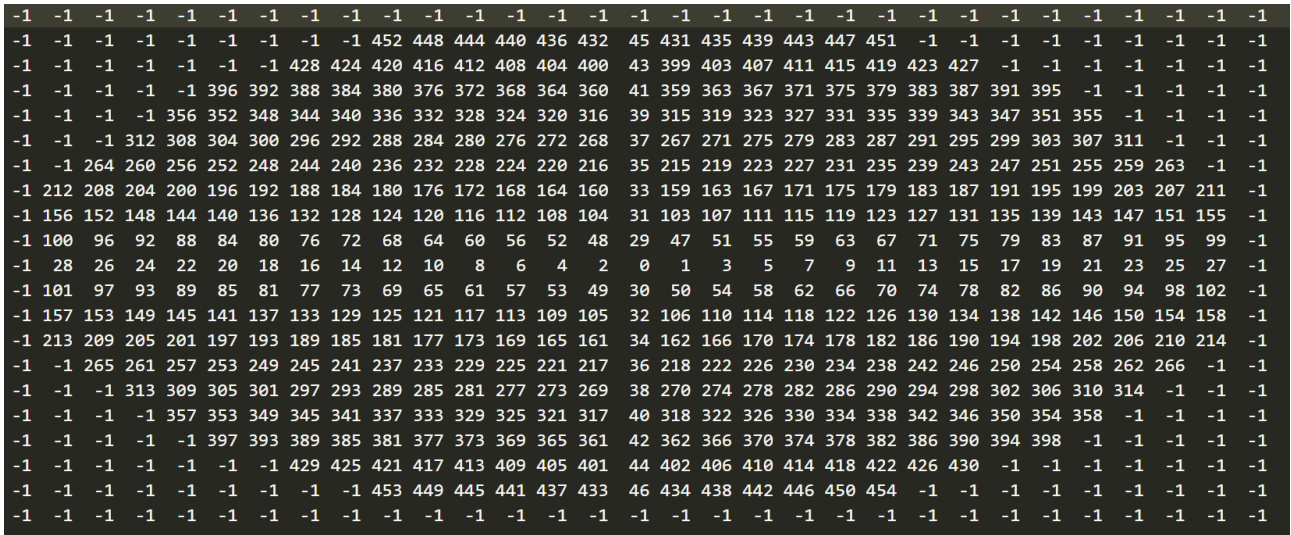


图 11: 第三问格点划分示意

第四问，步长 0.3

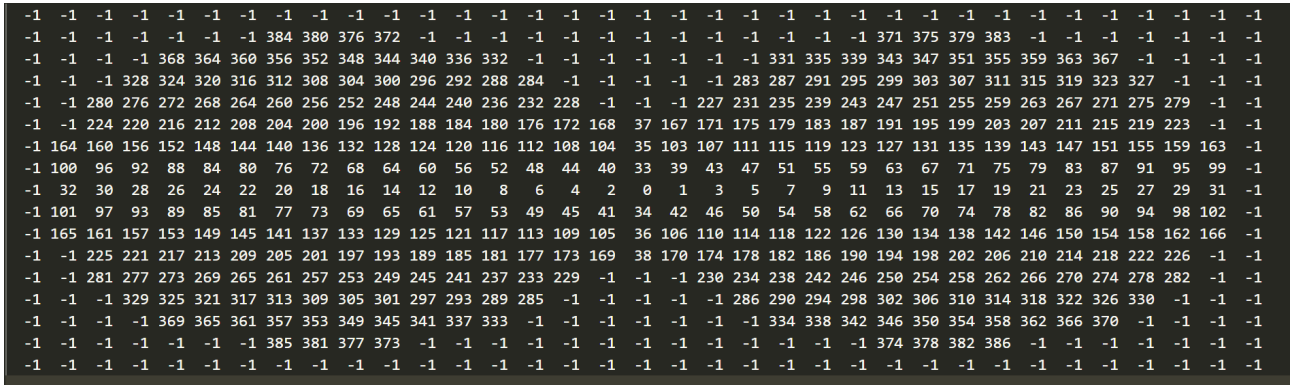


图 12: 第四问格点划分示意

2 源代码

为方便计算取 $I=1$

所有 C 源文件在 code 文件夹，输出 txt 文本 (打印出绘制等高线图的原始数据，即打印出 `ijtol[][]` 矩阵，其中为方便 mathematica 作图，-1 用复数 $-1+I$ 代替) 在 data 文件夹。对应关系如下：

	code	data	对应下节中的图
第一问	"q1.c"	"q1_NX=300.txt"	Q1(1)
	"q1_inverse.c"	"q1_NX=300_inverse.txt"	Q1(2)
第二问	"q2.c"	"q2_H=0.01.txt"	Q2(1)
	"q2_inverse.c"	"q2_H=0.01_inverse.txt"	Q2(2)
第三问	"q3.c"	"q3_H=0.01.txt"	Q3(1)
	"q3_inverse.c"	"q3_H=0.01_inverse.txt"	Q3(2)
第四问	"q4.c"	"q4.txt"	Q4(1)
	"q4_inverse.c"	"q4_inverse.txt"	Q4(2)

注意：在 C 编译环境可以运行上述代码，只是每个代码中读写的 txt 文件需要重新更改路径！！

另外，有关松弛因子的选取，这里只是数值估算出的。

具体方式是，选取一个大一点的步长做测试，这时矩阵维数较小，可以快速出结果。由于改变步长只是对矩阵进行了放缩，可以认为矩阵的性质大致不变，因而可以对小矩阵测试不同的松弛因子，输出迭代次数，然后选取次数最小的松弛因子作为正式的松弛因子。代码中所示松弛因子的就是这种数值计算的近似估计，效果是显著的，运行时间可以缩短几倍。

3 结果展示

数据代码和对应的图关系见上节对应表格，这里用来绘制图片的 mathematica 文件“plot.nb”也在附件中。

3.1 第一问

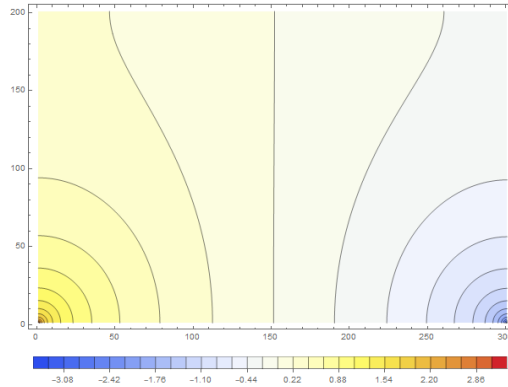


图 13: Q1(1)

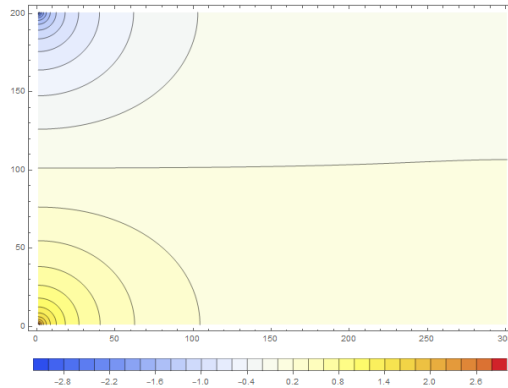


图 14: Q1(2)

$$R_1 = (0.248355 - (-0.242514))/1$$

$$R_2 = (0.017833 - (-0.014927))/1$$

$$E^{-\pi R_1} + E^{-\pi R_2} = 1.11613$$

3.2 第二问

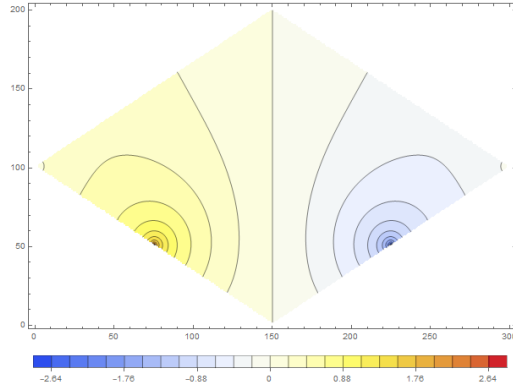


图 15: Q2(1)

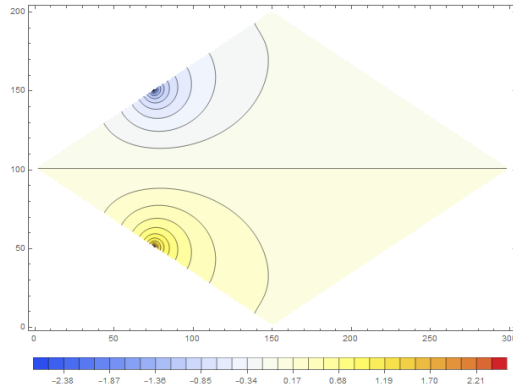


图 16: Q2(2)

$$R_1 = (0.293313 - (-0.293313))/1$$

$$R_2 = (-(-0.033495) + 0.033495)/1$$

$$E^{-\pi R_1} + E^{-\pi R_2} = 0.968566$$

3.3 第三问

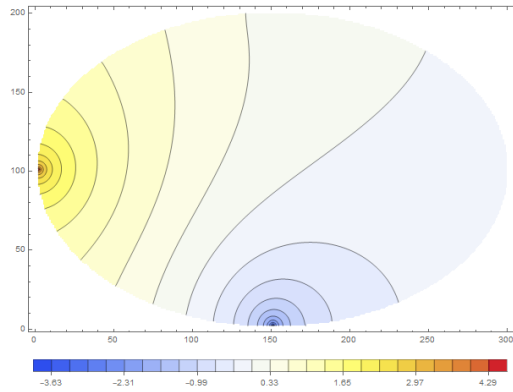


图 17: Q3(1)

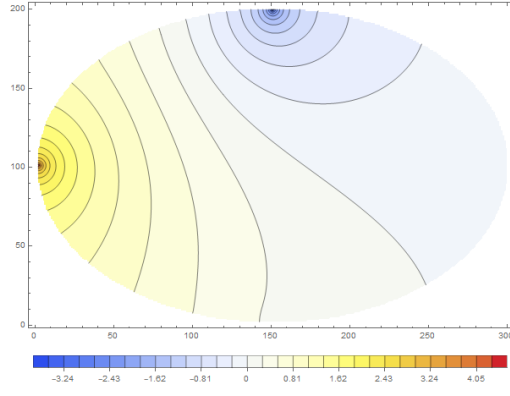


图 18: Q3(2)

$$R_1 = (0.129034 - (-0.048891))/1$$

$$R_2 = (0.129034 - (-0.048891))/1$$

$$E^{-\pi R_1} + E^{-\pi R_2} = 1.1436$$

3.4 第四问

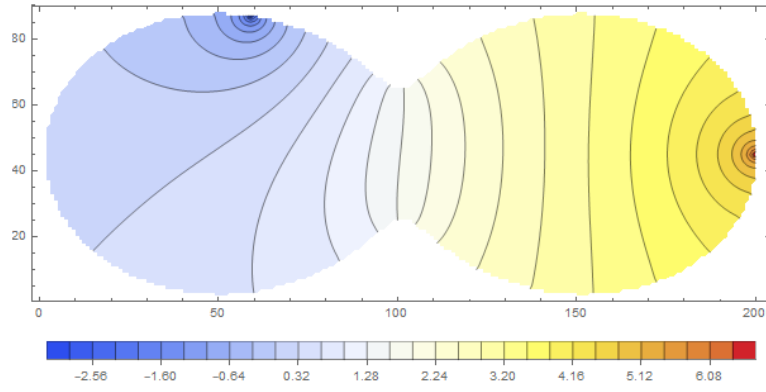


图 19: Q4(1)

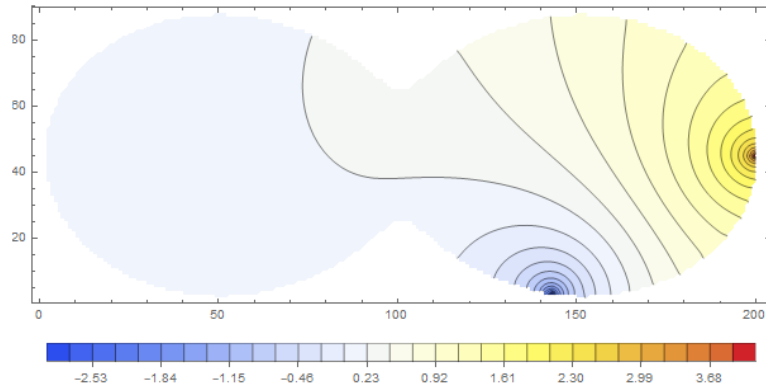


图 20: Q4(2)

$$R_1 = (2.985171 - 1.656232)/1$$

$$R_2 = (0.215642 - 0.197188)/1$$

$$E^{-\pi R_1} + E^{-\pi R_2} = 0.959049$$

参考文献

- [1] 李庆扬, 王能超, 易大义: 数值分析, 194 页, 2008 年 12 月第五版